






DAFTAR PUSTAKA

- [1] Suciningsari, T., (2017). "Identifikasi laju Dosis Typical dan maksimum di Udara pada Pesawat Sinar-x fluoroskopi Dual Fungsi dan Mobile C-Arm di Rumah Sakit Pendidikan Universitas Hasanuddin". *Doctoral dissertation*, Universitas Islam Negeri Alauddin Makassar.
- [2] Ngaile, J. E., Msaki, P. K., dan Kazema, R. R., (2018). "Monte Carlo based estimation of organ and effective doses to patients undergoing hysterosalpingography and retrograde urethrography fluoroscopy procedures". *Radiation Physics and Chemistry*, Vol. 145: 148-159.
- [3] Aswad, A., Abdullah, B., dan Tahir, D., (2018). "Studi Quality Control (QC) Pesawat Fluoroscopy (Angiografi) di PT. Siloam Internasional Hospital Makassar menggunakan Multimeter RaySafe (X2) dan Black Piranha RTI". *POSITRON*, Vol. 2: 25-30.
- [4] Setianingsih, T., (2018). *Prinsip Dasar dan Aplikasi Metode Difraksi Sinar-X untuk Karakterisasi Material*. Malang: Universitas Brawijaya Press.
- [5] Pasinringi, A., (2012). "Pengujian Kesesuaian antara Lapangan Penyinaran Kolimator dengan Berkas Radiasi yang dihasilkan pada Pesawat Sinar-X Mobile di Rumah Sakit Umum Daerah Tani dan Nelayan Gorontalo". *Doctoral dissertation*, Universitas Hasanuddin.
- [6] Akhadi, M., (2014). "Analisis Unsur Kelumit Melalui Pancaran Sinar-X Karakteristik". *Buletin Alara*, Vol. 8.
- [7] Wiguna, G. A., Alshweikh, A. M., Suparta, G. B., Louk, A. C., dan Kusminarto, K., (2018). "Penentuan Densitas Akrilik dan Plastik berdasarkan Citra Radiografi Digital". *Jurnal Fisika dan Aplikasinya*, Vol. 15: 12-16.
- [8] Ardyanti, E. A., Gani, M. R. A., Lubis, L. E., dan Soejoko, D. S., (2019). "Pengaruh Antiscatter grid Terhadap Dosis dan Kualitas Citra pada Prosedur Radiologi Intervensional". *Journal of Medical Physics and Biophysics*, Vol. 6: 7-15.
- [9] Nuklir, K. K. B. P. T. Nomor 01-P. *Ka-BAPETEN/I-03 Tentang Pedoman Dosis Pasien Radiodiagnostik*.
- [10] Mashudi, M., Rano Saputra, R. S., dan Suhartono, S. (2019). "Pengukuran Dosis Pekerja Radiasi Pada Perbaikan Detektor Jkt02 Cx 811 Di Rsg-Gas". *Buletin Reaktor*, Vol. 6: 22-43.

- [11] Dewi, G. A. D. S., (2016). “Analisis Kolimasi Berkas Sinar-X pada Pesawat Fluoroscopy (Mobile C-Arm) di Rumah Sakit Universitas Hasanuddin”. *Skripsi Departemen Fisika, Fakultas Ilmu Pengetahuan Alam, Universitas Hasanuddin, Makassar*.
- [12] Louk, A. C., dan Suparta, G. B., (2014). “Pengukuran Kualitas Sistem Pencitraan Radiografi Digital Sinar-X”. *Bimipa*, Vol. 24: 149-166.
- [13] Suyatno, F., Sukmono, D., dan Susila, I. P., (2013). “Perekayasa Pesawat Sinar-x Fluoroscopy Berbasis Layar Pendar”. *PRIMA-Aplikasi dan Rekayasa dalam Bidang Iptek Nuklir*, Vol. 8: 22-27.
- [14] Sofyan, M., dan Mayani, A. N., (2017). “Pembuatan Phantom dari Gips sebagai Pengganti Tulang Manusia dan Bahan Akrilik sebagai Pengganti Soft Tissue”. *Journal of Health (JoH)*, Vol. 4: 107-113.
- [15] Flores, M. B., Mourão, A. P., dan Del Rio, M. C., (2022). “Breast phantom made of acrylic slabs for tests in mammography DR”. *Applied Radiation and Isotopes*, Vol. 188: 110389.
- [16] Mufida, W., Utami, A. P., dan Dewi, S. N., (2020). “Pembuatan Phantom Radiologi Berbahan Dasar Kayu Lokal sebagai Pengganti Tulang Manusia”. *Jurnal Imejing Diagnostik (JImeD)*, Vol. 6: 7-10.
- [17] Mona, V., (2018). “Analisis Keluaran Berkas Radiasi Pesawat Terapi Linac Tipe Varian Cx 6264 Di Rs Unand”. *Doctoral dissertation*, Universitas Andalas.
- [18] Strauss, R. A., & Burgoyne, C. C., (2008). “Diagnostic imaging and sleep medicine”. *Dental Clinics of North America*, Vol. 52: 891-915.

LAMPIRAN

Lampiran 1 Gambar Alat dan Bahan Penelitian

No.	Nama Alat dan Bahan	Gambar
1.	Pesawat sinar-X Fluoroskopi konvensional	
2.	Detektor Radcal	
3.	Timbangan Digital	
4.	Meteran	
5.	Phantom Akrilik	

Lampiran 3 Data Pengukuran Laju Dosis

Ketebalan (cm)	Laju dosis (mGy/min)
10	0,2670
	0,2787
	0,2794
	0,2768
	0,2782
15	0,2469
	0,2507
	0,2489
	0,2512
	0,2577
20	0,2512
	0,2577
	0,2226
	0,2310
	0,2295
25	0,2041
	0,2112
	0,2138
	0,2145
	0,2112

Lampiran 4 Hasil Perhitungan Nilai Densitas

Ketebalan x Koefisien serapan massa (cm)	In (Io/Ix)
10	1,4732
	1,4304
	1,4278
	1,4372
	1,4322
15	1,5515
	1,5362
	1,5434
	1,5342
	1,5087
20	1,5342
	1,5082
	1,6551
	1,6181
	1,6246
25	1,5892
	1,7077
	1,6954
	1,6922
	1,7077